

Algorithmen im Chip-Entwurf

Ablaufplanung

Andreas Koch

FG Eingebettete Systeme und ihre Anwendungen
Informatik, TU Darmstadt

Wintersemester 2010/11

- 1 Einführung
- 2 Ohne Ressourcenbeschränkung
 - ASAP/ALAP
 - Zeitbeschränkungen
- 3 Mit Ressourcenbeschränkungen
 - Exakt
 - Heuristisch

ASAP/ALAP
Zeitbeschränkungen

Exakt
Heuristisch

Schaltungsmodell • Sequenzgraph $G_S(V, E)$ (hier: flach!)

- Taktperiode
- Ressourcentyp von v_i ist $T(v_i)$
- Operationsverzögerungen $d_i = d(T(v_i))$ in Takten

Ablaufplanung • Bestimmt Startzeitpunkte der Operatoren

- Erfüllt Zeit- und Flächenbeschränkungen

Ziel • Abstimmung von Zeit- und Flächenbedarf (*trade-off*)

Ablaufplan

Funktion $\varphi : V \rightarrow \mathbf{N}$, mit $\varphi(v_i) = t_i$, so dass

$$\forall (v_i, v_j) \in E : t_j \geq t_i + d_i,$$

... ohne Ressourcenbeschränkung und minimaler Latenz

Ablaufplan mit minimalem t_n .

AGN/APL
Zustandsübergänge

Event
Warteschlange

... mit Ressourcenbeschränkungen und minimaler Latenz

Zusätzlich muss für alle Ressourcetypen $k = 1, 2, \dots, n_{res}$
und Ausführungsschritte $l = 1, 2, \dots, t_n$ gelten:

$$|\{v_i : T(v_i) = k \wedge t_i \leq l < t_i + d_i\}| \leq a_k$$

Hinweis: Hier vereinfachtes Flächenmodell, a_k sind die maximalen Anzahlen von Ressourcen des Typs k .

- Dedizierte Ressource für jeden Operator
 - Paradigma der räumlich verteilten Berechnungen
 - Bindung hat vor Ablaufplanung stattgefunden

- Nützlich zur Bestimmung von Latenzuntergrenzen
 - Bei Planung mit beschränkten Ressourcen
 - Kann nicht besser werden als im dedizierten Fall

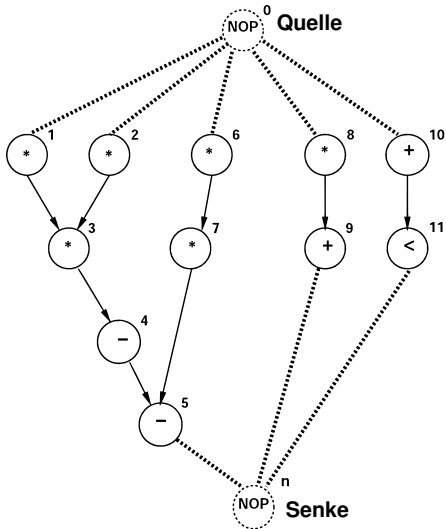
As Soon As Possible - „So früh wie möglich“

ASAP($G_S(V, E)$)

- 1 Starte v_0 bei $t_0^S = 1$;
- 2 **repeat**
- 3 Wähle v_i dessen Vorgänger alle schon geplant sind
- 4 Starte v_i bei $t_i^S = \max_{(v_j, v_i) \in E} t_j^S + d_j$
- 5 **until** v_n ist geplant

Beispiel Sequenzgraph

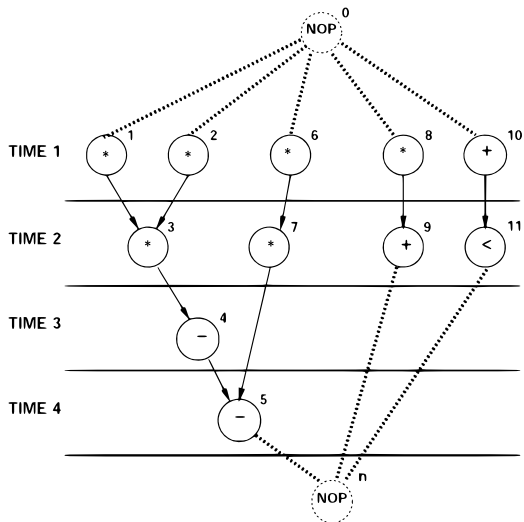
... nur zur Erinnerung



ASAP/ALAP
Zeitbestimmungen

Erweit
Wartungsbuch

Beispiel: ASAP Ablaufplan



ASAP/ALAP

Zeitbestimmungen

Event

Warteschlange

... aber immer noch ohne Ressourcenbeschränkung!

ASAP/ALAP
Zielfunktionen

- Maximale Latenz ist $\bar{\lambda}$
- Existenz eines gültigen Ablaufplans testbar mit ASAP
 - ... dann muss gelten $t_n^S - t_0^S \leq \bar{\lambda}$
- Falls gültig, spätestmögliche Startzeitpunkte bestimmen

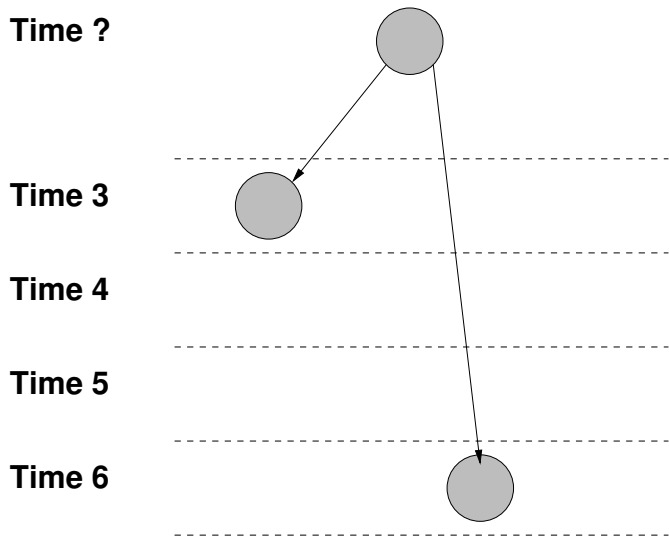
Exakt
Heuristisch

As Late As Possible - „So spät wie möglich“

ALAP($G_S(V, E), \bar{\lambda}$)

- 1 Starte v_n bei $t_n^L = \bar{\lambda} + 1$;
- 2 **repeat**
- 3 Wähle v_i dessen Nachfolger alle schon geplant sind
- 4 Starte v_i bei $t_i^L = \min_{(v_i, v_j) \in E} t_j^L - d_i$
- 5 **until** v_0 ist geplant

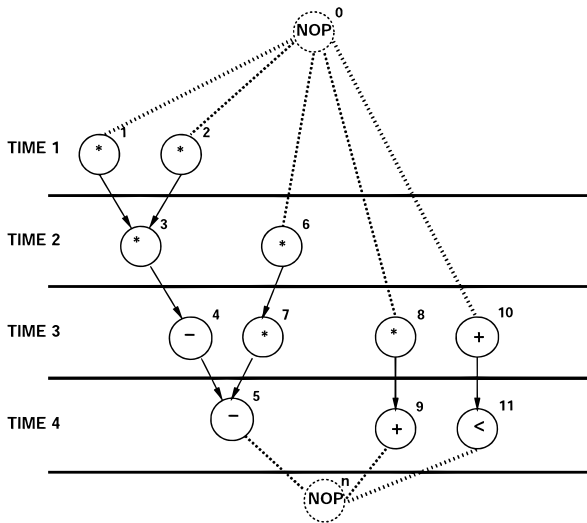
ALAP Idee



ASAP/ALAP
Zeitbeschränkungen

Exakt
Heuristisch

Beispiel: ALAP Ablaufplan

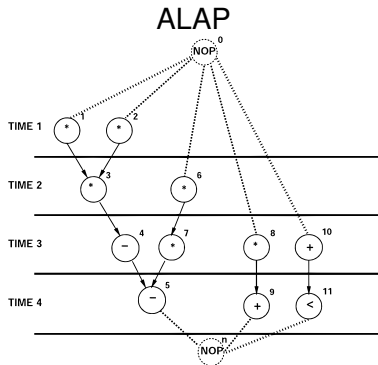
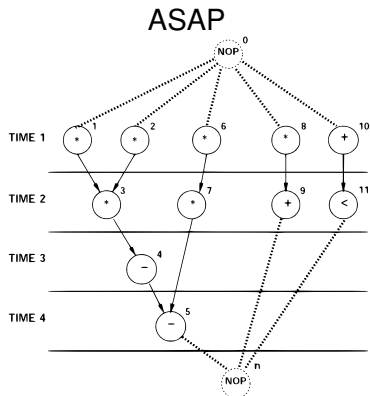


ASAP/ALAP
Zustandsübergang

Event
Warteschlange

- Mögliche Startzeitpunkte liegen im Intervall $[t_i^S, t_i^L]$
- Mobilität $\mu_i = t_i^L - t_i^S$
 - $\mu_i = 0$ Operation v_i kann nur zu einem Zeitpunkt gestartet werden
 - Operation liegt auf **kritischem Pfad**
 - $\mu_i > 0$ Start von v_i kann beliebig im Intervall geschoben werden

Beispiel: Mobilität



$$\mu = 0 : \{v_1, v_2, v_3, v_4, v_5\}$$

$$\mu = 1 : \{v_6, v_7\}$$

$$\mu = 2 : \{v_8, v_9, v_{10}, v_{11}\}$$

ASAP/ALAP

Zustandsübergänge

Event

Warteschlange

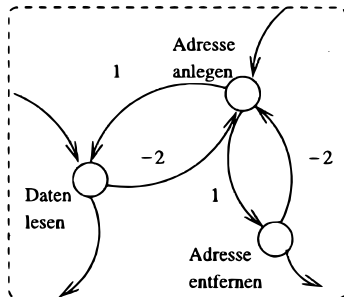
- Häufig durch Restsystem vorgegeben
 - Absolut** Spätester (=Deadline) und frühester (=Releasetime) Startzeitpunkt
 - Relativ** Zeitliche Relationen zwischen Operatorpaaren
- Absolute sind Spezialfälle von relativen Beschränkungen
 - Werden relativ zum Quellknoten formuliert
- Minimale/maximale Anzahl von Takten zwischen Startzeitpunkten
 - Durch Min=Max auch exakter Zeitpunkt fomulierbar.

Beispiel: Relative Zeitbeschränkungen



Adresse Muss mindestens 1 Takt,
darf aber höchstens 2 Takte anliegen

Daten Erscheinen 1 Takt nach Anlegen der Adresse,
sind danach 1 Takt lang gültig



Minimale $l_{ij} \geq 0$, mit $t_j \geq t_i + l_{ij}$

Maximale $u_{ij} \geq 0$, mit $t_j \leq t_i + u_{ij}$

Beschränkungsgraph

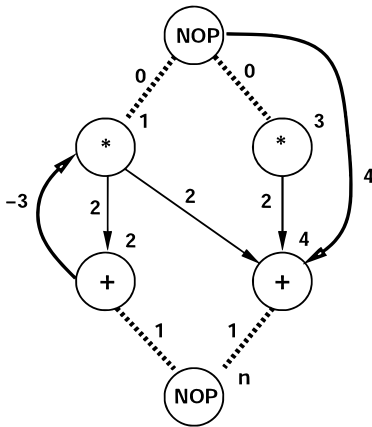
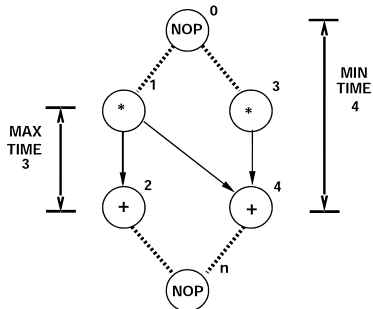
Erweiterung des Sequenzgraphen um Kantengewichte $w(e) \in \mathbf{Z}$ und zusätzliche Kanten e' für Zeitbeschränkungen.

- $w(e) = w((v_i, v_j)) = d_i$
- Neue e' je Zeitbeschränkung zwischen v_i und v_j

Minimum $e' = (v_i, v_j)$ mit $w(e') = l_{ij}$

Maximum $e' = (v_j, v_i)$ mit $w(e') = -u_{ij}$

Beispiel: Beschränkungsgraph

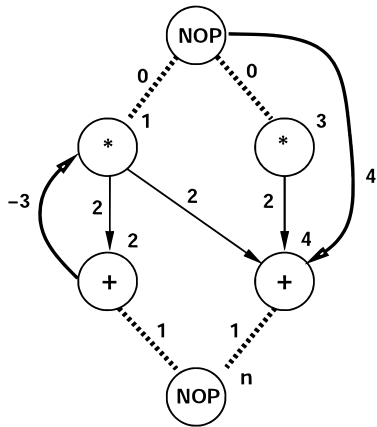


ASAP/LAP
Zeitbeschränkungen

Event
Warteschlange

- Beschränkungen können Ablaufplanung vereiteln
 - Konflikt zwischen u_{ij} und Operationslaufzeiten
 - Konflikt zwischen u_{ij} und l_{ij}
- Test auf Existenz einer gültigen Ablaufplanung
 - Bestimme für jedes u_{ij} den *längsten Pfad* von v_i nach v_j
 - Falls Pfad *länger* als u_{ij} ist, existiert *kein* gültiger Ablaufplan
 - Beschränkungsgraph darf keine *positiven* Zyklen haben
 - Durch Graphenalgorithmien überprüfbar
 - Bellman-Ford, Liao-Wong, etc.
 - Diese liefern auch gleichzeitig die ASAP-Startzeitpunkte

Beispiel: Ablaufplanung mit Zeitbeschränkungen



Knoten	Startzeitpunkt
v_0	1
v_1	1
v_2	3
v_3	1
v_4	5
v_n	6

- Feste Obergrenze für Fläche, minimiere Latenz
 - Flächen werden durch maximale Ressourcenanzahlen a_k beschränkt
- Problem ist \mathcal{NP} -hart
- Exakte Lösung mit ganzzahliger linearer Programmierung (ILP)
- Exakte Lösung in \mathcal{P} unter stark eingeschränkten Umständen
- Allgemeinere Heuristiken in \mathcal{P}

Allgemeine exakte Lösung des Problems

- Es gibt eine geschätzte Obergrenze für die Latenz $\bar{\lambda}$
 - In der Regel durch Heuristik bestimmt
- Entscheidungsvariablen $x_{il} \in \{0, 1\}$, für alle
 - Operatoren $1 \leq i \leq n_{ops}$
 - Schritte $1 \leq l \leq \bar{\lambda} + 1$
- $x_{il} = 1$ genau dann, wenn $t_i = l$.
 - Alternativ mit Kronecker-Symbol: $x_{il} = \delta_{i,l}$
- Aus ASAP/ALAP: $x_{il} = 0$ für $l < t_i^S \vee l > t_i^L$

ASAP/ALAP
Zeitbereichsplanung

Exakt
Heuristisch

Als Ungleichungssystem

- 1 Jede Operation darf nur einmal gestartet werden

$$\sum_{l=t_i^S}^{t_i^L} x_{il} = 1, \forall v_i \in V$$

- 2 Umrechnung von Entscheidungsvariablen in Startzeitpunkt

$$\sum_{l=t_i^S}^{t_i^L} l \cdot x_{il} = t_i, \forall v_i \in V$$

- 3 Datenabhängigkeiten einhalten

$$t_i \geq t_j + d_j, \forall (v_j, v_i) \in E$$

- 4 Von jeder Ressource k werden in jedem Zeitschritt l maximal a_k benutzt

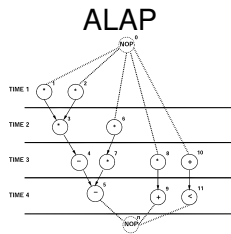
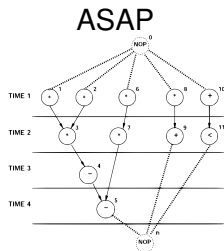
$$\sum_{\{i:T(v_i)=k\}} \sum_{m=l-d_i+1}^l x_{im} \leq a_k ,$$

$$\forall 1 \leq k \leq n_{res}, 1 \leq l \leq \bar{\lambda} + 1$$

- 5 Optimierungsziel minimale Latenz: minimiere t_n

- Sequenzgraph zu `diffeq()`
- $r_1 = *$, $r_2 = +$, $d(r_1) = d(r_2) = 1$
- Ressourcenbeschränkung $a_1 = a_2 = 2$
- Heuristik (kommt später ...) liefert Obergrenze $\bar{\lambda} = 4$ Schritte
- ASAP/ALAP-Algorithmen aus Problem ohne Ressourcenbeschränkung liefern Startintervalle

Beispiel: ILP - Basisdaten



Knoten	Intervall
v_0	[1,1]
v_1	[1,1]
v_2	[1,1]
v_3	[2,2]
v_4	[3,3]
v_5	[4,4]
v_6	[1,2]
v_7	[2,3]
v_8	[1,3]
v_9	[2,4]
v_{10}	[1,3]
v_{11}	[2,4]
$v_n = v_{12}$	[5,5]

ASAP/ALAP
Zeitbestimmungen

Exakt
Warteschlange

Beispiel: ILP - Gleichungen 1

Operationen dürfen nur einmal starten

$$x_{0,1} = 1 \quad (1)$$

$$x_{1,1} = 1 \quad (2)$$

$$x_{2,1} = 1 \quad (3)$$

$$x_{3,2} = 1 \quad (4)$$

$$x_{4,3} = 1 \quad (5)$$

$$x_{5,4} = 1 \quad (6)$$

$$x_{6,1} + x_{6,2} = 1 \quad (7)$$

$$x_{7,2} + x_{7,3} = 1 \quad (8)$$

$$x_{8,1} + x_{8,2} + x_{8,3} = 1 \quad (9)$$

$$x_{9,2} + x_{9,3} + x_{9,4} = 1 \quad (10)$$

$$x_{10,1} + x_{10,2} + x_{10,3} = 1 \quad (11)$$

$$x_{11,2} + x_{11,3} + x_{11,4} = 1 \quad (12)$$

$$x_{n,5} = 1 \quad (13)$$

Datenabhängigkeiten (nur nicht-triviale!)

$$2x_{7,2} + 3x_{7,3} \geq 1x_{6,1} + 2x_{6,2} + 1 \quad (14)$$

$$2x_{9,2} + 3x_{9,3} + 4x_{9,4} \geq 1x_{8,1} + 2x_{8,2} + 3x_{8,3} + 1 \quad (15)$$

$$2x_{11,2} + 3x_{11,3} + 4x_{11,4} \geq 1x_{10,1} + 2x_{10,2} + 3x_{10,3} + 1 \quad (16)$$

$$4x_{5,4} \geq 2x_{7,2} + 3x_{7,3} + 1 \quad (17)$$

$$5x_{n,5} \geq 2x_{9,2} + 3x_{9,3} + 4x_{9,4} + 1 \quad (18)$$

$$5x_{n,5} \geq 2x_{11,2} + 3x_{11,3} + 4x_{11,4} + 1 \quad (19)$$

Trivial: Beide Operationen haben feste Zeit

$$2x_{3,2} \geq 1x_{1,1} + 1 \quad (20)$$

$$2 \cdot 1 \geq 1 + 1 \quad (21)$$

$$2 \geq 2 \quad (22)$$

Ressourcenbeschränkungen

Multiplizierer (23)

$$x_{1,1} + x_{2,1} + x_{6,1} + x_{8,1} \leq 2 \quad (24)$$

$$x_{3,2} + x_{6,2} + x_{7,2} + x_{8,2} \leq 2 \quad (25)$$

$$x_{7,3} + x_{8,3} \leq 2 \quad (26)$$

ALUs (27)

$$x_{10,1} \leq 2 \quad (28)$$

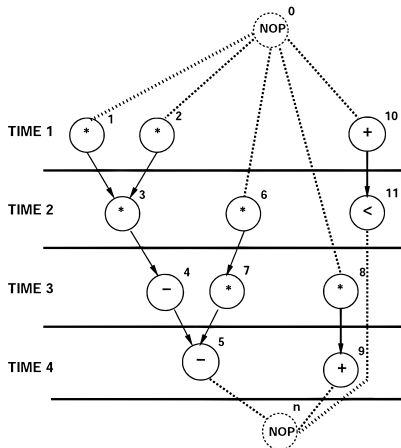
$$x_{9,2} + x_{10,2} + x_{11,2} \leq 2 \quad (29)$$

$$x_{4,3} + x_{9,3} + x_{10,3} + x_{11,3} \leq 2 \quad (30)$$

$$x_{5,4} + x_{9,4} + x_{11,4} \leq 2 \quad (31)$$

Beispiel: ILP - Lösung mit Solver

Var.	Wert
xn_5	1
x0_1	1
x1_1	1
x2_1	1
x3_2	1
x4_3	1
x5_4	1
x6_1	0
x6_2	1
x7_2	0
x7_3	1
x8_1	0
x8_2	0
x8_3	1
x9_2	0
x9_3	0
x9_4	1
x10_1	1
x10_2	0
x10_3	0
x11_2	1
x11_3	0
x11_4	0



ASAP/LAP
Zustandsübergänge

Exakt
Heuristisch

Können modelliert werden.

Minimale Zeitbeschränkung l_{ij} zwischen v_i und v_j

$$\sum_{l=t_j^S}^{t_j^L} l \cdot x_{jl} \geq \left(\sum_{l=t_i^S}^{t_i^L} l \cdot x_{il} \right) + l_{ij}$$

Maximale Zeitbeschränkung u_{ij} zwischen v_i und v_j

$$\sum_{l=t_j^S}^{t_j^L} l \cdot x_{jl} \leq \left(\sum_{l=t_i^S}^{t_i^L} l \cdot x_{il} \right) + u_{ij}$$

Minimale Fläche mit Latenzbeschränkung

- Formeln 1,2,3,4 bleiben
 - In 4 sind die a_k jetzt aber freie Variablen
- Zusätzlich

$$\sum_{l=t_n^S}^{\bar{\lambda}+1} l \cdot x_{nl} \leq \bar{\lambda} + 1$$

- Minimiere nun echte Flächen, z.B. bei Fläche(Mult)=5 und Fläche(ALU)=1

minimiere : $5 \cdot a_1 + 1 \cdot a_2$

Problem: Lösung von ILPs ist \mathcal{NP} -hart

Für **eingeschränktere** Eingaben aber schneller möglich

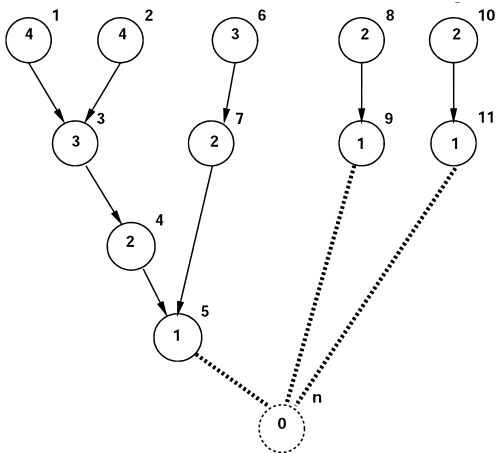
- Ignoriert v_0
- G_S ohne v_0 ist ein *Baum*
- Alle Operationen haben denselben Typ
- Es gibt a Ressourcen des Typs, alle mit Verzögerung 1

Vorbereitung:

Beschrifte Knoten $v \in V \setminus \{v_0\}$ mit ihrer Entfernung $p(v) \in N_0$ von der Senke v_n .

Beschriftungsphase von Hus Algorithmus

$p(v)$ wirken als *Priorität*, je größer $p(v)$ desto höher.



Minimiere Latenz bei Ressourcenbeschränkungen

$HU(G_S(V, E), a)$

- 1 Beschrifte Knoten $V \setminus \{v_0\}$ mit Priorität;
- 2 $l = 1$;
- 3 **repeat**
- 4 U ist Menge aller Knoten ohne Vorgänger
 oder nur mit geplanten Vorgängern;
- 5 Wähle $S \subseteq U$, so dass $|S| \leq a$
 und $\sum_{v \in S} p(v)$ maximal;
- 6 Plane Operationen in S bei Schritt l
 durch $t_i = l \forall v_i \in S$;
- 7 $l = l + 1$;
- 8 **until** v_n ist geplant;

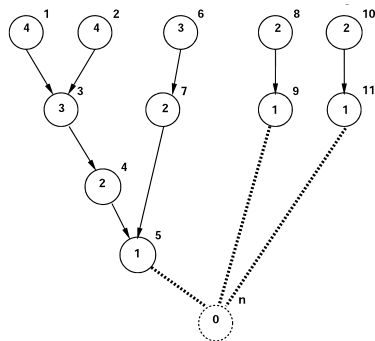
Vorgehen: Greedy-Schema

ASAP/LAP
Totzeitstrategien

Exakt
Heuristisch

Beispiel: Hus Algorithmus

Minimiere Latenz mit $a = 3$ Ressourcen



- 1 $S = \{v_1, v_2, v_6\}$
- 2 $S = \{v_3, v_7, v_8\}$
- 3 $S = \{v_4, v_9, v_{10}\}$
- 4 $S = \{v_5, v_{11}\}$

Optimales Ergebnis in $O(|V|)$.

- Familie von Heuristiken in \mathcal{P}
- Auch bei Sequenzgraphen, mehreren Ressourcetypen und längeren Ausführungszeiten
 - Minimiere Latenz bei Ressourcenbeschränkungen
 - Minimiere Ressourcen bei Latenzbeschränkungen
- Erweitern Hus Algorithmus
- Erreichen aber **nicht** immer das Optimum

Algorithmenskelett bei Ressourcenbeschränkung

LISTSKEL($G_S(V, E), \mathbf{a}$)

```
1   $l = 1$ ;  
2  repeat  
3      for Ressource  $k \in \{1, \dots, n_{res}\}$  do  
4          Bestimme Kandidaten  
             $U_{l,k} = \{v_i \in V : T(v_i) = k \wedge t_j + d_j \leq l \forall (v_j, v_i) \in E\}$   
5          Bestimme nicht-beendete Operationen  
             $T_{l,k} = \{v_i \in V : T(v_i) = k \wedge t_i + d_i > l\}$ ;  
6          Wähle  $S_k \subseteq U_{l,k}$ , so dass  $|S_k| + |T_{l,k}| \leq a_k$ ;  
7          Plane Operationen in  $S_k$  bei Schritt  $l$   
            durch  $t_i = l \forall v_i \in S_k$ ;  
8  
9           $l = l + 1$ ;  
10 until  $v_n$  ist geplant;
```

Listen-basierte Ablaufplanung zur Latenzminimierung

- LISTSKEL hat $O(|V|)$ und beachtet bereits Ressourcenbeschränkung
- Versucht aber **nicht**, die Latenz zu minimieren
- Fehlt: Beachtung der Dringlichkeit von Operationen
- Eine Lösung: LISTMINLAT($G_S(V, E), \mathbf{a}$)
 - Gleicher Aufbau wie LISTSKEL
 - Zeile 6: Knoten nach absteigender Entfernung zur Senke wählen
- Bei $n_{res} = 1$ und $d(r_1) = 1$: Identisch zu Hus Algorithmus, wenn Sequenzgraph ein Baum ist.

Listen-basierte Ablaufplanung unterstützt Zeitbeschränkungen

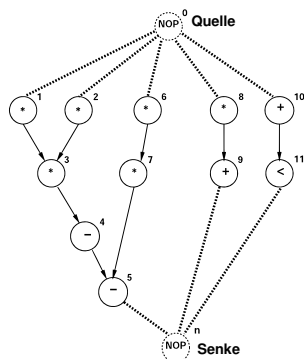
Minimale *Verzögere* die Aufnahme eines Kandidaten v_j nach S_k solange, bis ein l erreicht ist, bei dem alle l_{ij} erfüllt sind.

Maximale Berechne die Priorität eines Kandidaten v_j aus der *Nähe* zu seiner spätesten Ausführungszeit, bestimmt durch das anwachsende l und die u_{ij} .

Beispiel: Listen-basierte Ablaufplanung

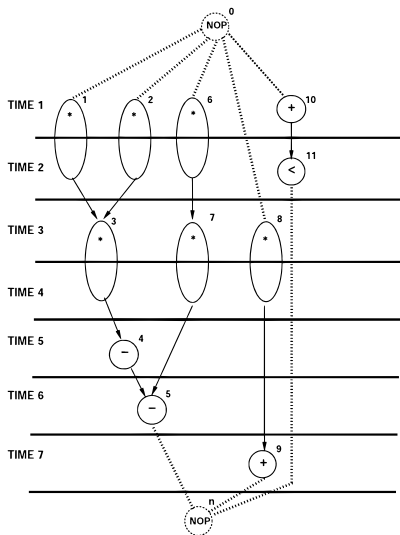
Annahmen

- $a_1 = 3$ Multiplizierer mit $d(r_1) = 2$
- $a_2 = 1$ ALU mit $d(r_2) = 1$
- Priorität entspricht Pfadlänge zur Senke



Startzeit	Multiplizierer	ALU
1	$\{v_1, v_2, v_6\}$	v_{10}
2	—	v_{11}
3	$\{v_3, v_7, v_8\}$	—
4	—	—
5	—	v_4
6	—	v_5
7	—	v_9

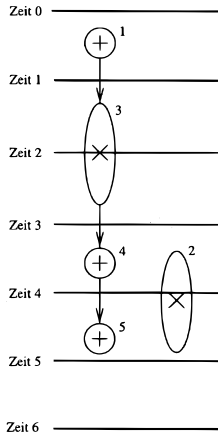
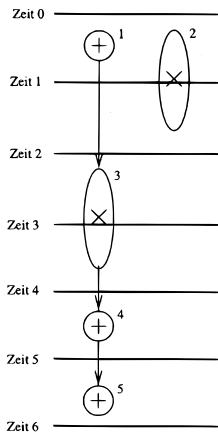
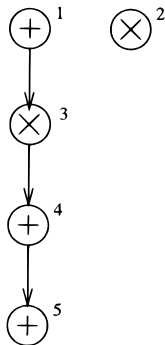
Beispiel: Listen-basierte Ablaufplanung



ASAP/LAP
Zeilenschichtungen

Exakt
Heuristisch

Suboptimalität bei listen-basierter Ablaufplanung



$$a_+ = a_* = 1,$$

$$d(+) = 1, d(*) = 2$$

ASAP/LAP
Zustandsübergänge

Exakt
Heuristisch

Listen-basierte Ablaufplanung zur Ressourcenminimierung

... bei Latenzbeschränkung $\bar{\lambda}$

Ideen:

- Beginne mit $a_k = 1$ für alle Ressourcetypen k
- Berechne den Schlupf jedes Operators v_i zur Zeit l als $s_{i,l} = t_i^L - l$
- Wenn $s_{i,l} = 0$, **muss** der Operator zu diesem Zeitpunkt ausgeführt werden
- Auch, wenn dafür eine **zusätzliche** Ressource aufgebracht werden muss

LISTMINRES($G_S(V, E), \bar{\lambda}$)

```
1   $a_k = 1 \quad \forall k \in \{1, \dots, n_{res}\};$   
2  Berechne  $t_i^L$  durch ALAP( $G_S(V, E), \bar{\lambda}$ );  
3  if  $t_0^L \leq 0$  then  
4      return  $\emptyset$ ;  
5  
6   $l = 1$ ;  
7  repeat  
8      for Ressource  $k \in \{1, \dots, n_{res}\}$  do  
9          Bestimme Kandidaten  
             $U_{l,k} = \{v_i \in V : T(v_i) = k \wedge t_j + d_j \leq l \forall (v_j, v_i) \in E\};$   
10         Bestimme nicht-beendete Operationen  
             $T_{l,k} = \{v_i \in V : T(v_i) = k \wedge t_i + d_i > l\};$   
11         Berechne Schlupf  $s_{i,l} = t_i^L - l \quad \forall v_i \in U_{l,k}$ ;  
12         Plane Operationen aus  $S_{l,k} = \{v_i : s_{i,l} = 0\}$  in Schritt  $l$ ;  
13         Setze Ressource auf  $a_k = \max(a_k, |S_{l,k}| + |T_{l,k}|)$ ;  
14         Plane  $a_k - (|S_{l,k}| + |T_{l,k}|)$  weitere Operationen  $A_{l,k} \subseteq (U_{l,k} \setminus S_{l,k})$  in  $l$ ;  
15  
16          $l = l + 1$ ;  
17  until  $v_n$  ist geplant;
```

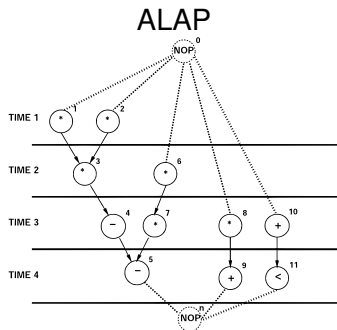
ASAP/ALAP
Zeilbeschränkungen

Exakt
Heuristisch

Beispiel: LISTMINRES

$$d_i = 1,$$

$$\bar{\lambda} = 4$$



ASAP/ALAP
Zustandsübergänge

Exakt
Heuristisch

Schritt	$U_{l,1}$	$S_{l,1}$	$A_{l,1}$	a_1	$U_{l,2}$	$S_{l,2}$	$A_{l,2}$	a_2
1	$\{v_1, v_2, v_6, v_8\}$	$\{v_1, v_2\}$	\emptyset	2	$\{v_{10}\}$	\emptyset	$\{v_{10}\}$	1
2	$\{v_3, v_6, v_8\}$	$\{v_3, v_6\}$	\emptyset	2	$\{v_{11}\}$	\emptyset	$\{v_{11}\}$	1
3	$\{v_7, v_8\}$	$\{v_7, v_8\}$	\emptyset	2	$\{v_4\}$	$\{v_4\}$	\emptyset	1
4	\emptyset	\emptyset	\emptyset	2	$\{v_5, v_9\}$	$\{v_5, v_9\}$	\emptyset	2

- Idee: Aktualisiere Prioritäten während des Ablaufs
- Berücksichtige Abhängigkeiten über Datenfluss hinaus
- Führt im allgemeinen zu besseren Ergebnissen
- Kann beide Probleme lösen
 - Minimiere Latenz bei Ressourcenbeschränkungen
 - Minimiere Ressourcen bei Latenzbeschränkungen

- Zunächst einige Definitionen . . .

- 1 **Mobilitätsintervall** M_i einer Operation $v_i \in V$ bestimmt via ASAP/ALAP

$$M_i = [t_i^S, t_i^L]$$

ASAP/ALAP
Zellbeschränkungen

- 2 **Ausführungswahrscheinlichkeit** $p_{i,l}$ einer Operation v_i zum Zeitpunkt l ist

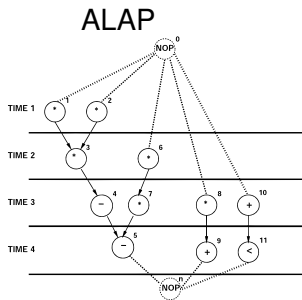
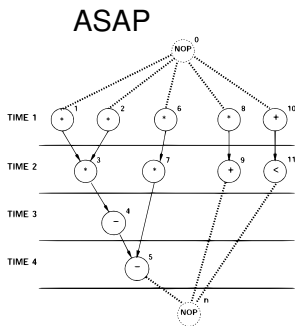
$$p_{i,l} = \begin{cases} \frac{1}{\mu_{i+1}} & : \quad \forall l \in M_i \\ 0 & : \quad \textit{sonst} \end{cases}$$

Exakt
Heuristisch

- 3 **Belegung** $q_{k,l}$ des Ressourcetypes r_k zum Zeitpunkt l

$$q_{k,l} = \sum_{\{v_i: T(v_i)=k\}} p_{i,l}$$

Beispiele für `diffEq()`



ASAP/ALAP
Zeitbestimmungen

Exakt
Heuristisch

$$\bar{\lambda} = 4$$

$$\mu_1 = 0, M_1 = [1, 1], p_{1,1} = 1, p_{1,2} = p_{1,3} = p_{1,4} = 0$$

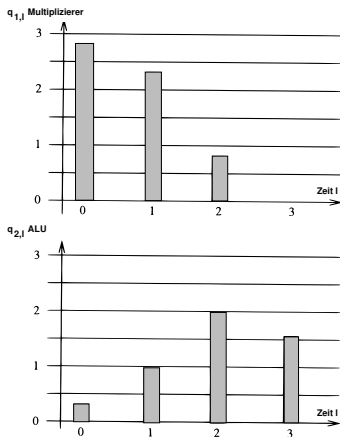
$$\mu_2 = 0, M_2 = [1, 1], p_{2,1} = 1, p_{2,2} = p_{2,3} = p_{2,4} = 0$$

$$\mu_6 = 1, M_6 = [1, 2], p_{6,1} = 1/2, p_{6,2} = 1/2, p_{6,3} = p_{6,4} = 0$$

$$\mu_8 = 2, M_8 = [1, 3], p_{8,1} = 1/3, p_{8,2} = 1/3, p_{8,3} = 1/3, p_{8,4} = 0$$

$$q_{1,1} = 1 + 1 + 1/2 + 1/3 = 2.8\bar{3}$$

Stellt $q_{k,l}$ für alle Ressourcen k für l auf ganzer Latenz dar



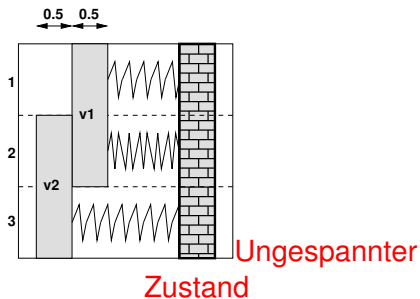
ASAP/LAP
Zellbeschränkungen

Exakt
Heuristisch

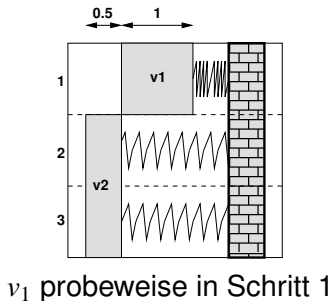
Gleichmäßige Verteilung → bessere Auslastung.

Idee: Mechanisches Modell

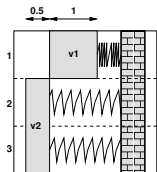
Federkraft $F = cx$ (Hookesches Gesetz)



$$\begin{aligned}
 p_{1,1} &= p_{1,2} = 1/2, p_{1,3} = 0 \\
 p_{2,1} &= 0, p_{2,2} = p_{2,3} = 1/2 \\
 q_{1,1} &= 1/2, q_{1,2} = 1, q_{1,3} = 1/2 \\
 c &\approx q
 \end{aligned}$$



$$F_{i,l}^S = \sum_{m=t_i^S}^{t_i^T} q_{T(v_i),m} (\delta_{l,m} - p_{i,m})$$



$$\begin{aligned} F_{1,1}^S &= \sum_{m=t_i^S}^{t_i^L} q_{T(v_i),m} (\delta_{l,m} - p_{i,m}) \\ &= q_{1,1}(1 - p_{1,1}) + q_{1,2}(0 - p_{1,2}) \\ &= 1/2 \cdot (1 - 1/2) + 1 \cdot (0 - 1/2) \\ &= 1/4 - 1/2 = -1/4 \end{aligned}$$

$$\begin{aligned} F_{i,l}^S &= \sum_{m=t_i^S}^{t_i^L} q_{T(v_i),m} (\delta_{l,m} - p_{i,m}) \\ &= \sum_{m=t_i^S}^{t_i^L} q_{T(v_i),m} \left(\delta_{l,m} - \frac{1}{\mu_i + 1} \right) \\ &= q_{T(v_i),l} - \frac{1}{\mu_i + 1} \sum_{m=t_i^S}^{t_i^L} q_{T(v_i),m} \end{aligned}$$

Interpretation: Nach Probeplanung von v_i auf Zeitpunkt l die **Änderung** zur *durchschnittlichen* Belegung der Ressource k im Mobilitätsintervall von v_i .

Beispiel: Selbstkraft auf v_6 in `diffEq()`

Zur Erinnerung: $M_6 = [1, 2]$, $q_{1,1} = 2.8\bar{3}$, $q_{1,2} = 2.\bar{3}$

- 1 Plane v_6 probeweise auf $l = 1$:

$$F_{6,1}^S = 2.8\bar{3} \cdot (1 - 1/2) + 2.\bar{3} \cdot (0 - 1/2) = 0.25$$

Interpretation: Über der durchschnittlichen Belegung, höherer Grad an Parallelität und damit Ressourcenbedarf.

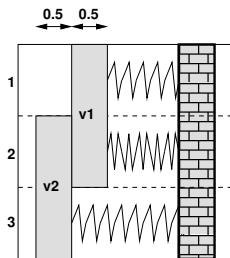
- 2 Plane v_6 probeweise auf $l = 2$

$$F_{6,2}^S = 2.8\bar{3} \cdot (0 - 1/2) + 2.\bar{3} \cdot (1 - 1/2) = -0.25$$

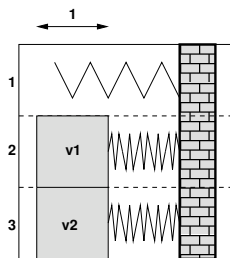
Interpretation: Unter durchschnittlicher Belegung, braucht nicht mehr Ressourcen.

- Probeweises Planen eines Operators i auf Schritt l schränkt Mobilitätsintervalle seiner Vorgänger und Nachfolger ein
 - Frühester Start von Nachfolger j
 - $\tilde{t}_j^S = \max(t_j^S, t_i + d_i)$
 - $\tilde{M}_j = [\tilde{t}_j^S, t_j^L]$
 - Spätester Start von Vorgänger j
 - $\tilde{t}_j^L = \min(t_j^L, t_i - d_j)$
 - $\tilde{M}_j = [t_j^S, \tilde{t}_j^L]$
- Analog: Berechnung von $\tilde{\mu}_j$
- Modelliere Effekte durch Vorgänger- und Nachfolgerkräfte

Beispiel: Mechanisches Modell



Annahme: $(v_1, v_2) \in E$



v_1 probeweise in Schritt 2
Mobilitätsintervall von v_2
eingeschränkt
 $M_2 = [2, 3] \rightarrow \tilde{M}_2 = [3, 3]$
 $q_{1,3}$ erhöht sich!

Vorgänger-/Nachfolgerkräfte für v_j

... wenn v_i probeweise auf Schritt l geplant ist.

Idee: Berechne die Änderung der *mittleren* Belegung von $T(v_j)$ von M_j zu \tilde{M}_j ,

$$F_{j,l}^N = \frac{1}{\tilde{\mu} + 1} \sum_{m=\tilde{t}_j^S}^{\tilde{t}_j^L} q_{T(v_j),m} - \frac{1}{\mu_j + 1} \sum_{m=t_j^S}^{t_j^L} q_{T(v_j),m}$$

Interpretation: Wie stark ändert sich durch die Probeplanung von v_i die mittlere Nachfrage nach den Ressourcen seiner Vorgänger / Nachfolger?

Beispiel: `diffEq()`

- Probeweise Planung von v_8 auf Schritt 2
- v_9 ist Nachfolger, da $(v_8, v_9) \in E$
- $M_9 = [2, 4]$, aber jetzt $t_9^S < t_8 + d_8$
- $\tilde{M}_9 = [3, 4]$

Damit

$$\begin{aligned}F_{9,1}^N &= \frac{1}{2} (q_{2,3} + q_{2,4}) - \frac{1}{3} (q_{2,2} + q_{2,3} + q_{2,4}) \\ &= 0.5 \cdot (2 + 1.\bar{6}) - 0.\bar{3} \cdot (1 + 2 + 1.\bar{6}) \\ &= 0.2\bar{7}\end{aligned}$$

Die Nachfrage nach Ressource 2 steigt also.

Summe von Selbst-, Vorgänger- und Nachfolgerkräften

$$F_{i,l} = F_{i,l}^S + \sum_{(v_j, v_i) \in E} F_{j,l}^N + \sum_{(v_i, v_j) \in E} F_{j,l}^N$$

ASAP/ALAP
Zustandsübergänge

Exakt
Heuristisch

Beispiel `diffEq()`:

- Probeweise Planung von v_6 in Schritt 2
- Impliziert Planung von v_7 in Schritt 3
- $F_{7,2}^N = q_{1,3} - 1/2 (q_{1,2} + q_{1,3}) = -0.75$
- $F_{6,2} = F_{6,2}^S + F_{7,2}^N = -0.25 - 0.75 = -1$

- Berechnet Ablaufplan mit minimaler Latenz bei beschränkten Ressourcen
- Grobstruktur wie LISTSKEL, also Vorgehen in Zeitschritten
- Selektion der $S_k \subseteq U_{l,k}$ nun kräftegesteuert
 - Verzögere Operationen mit kleinen $F_{i,l}$ solange, bis a_k eingehalten werden
 - Verzögern geschieht durch Verkürzen der M_i
- Idee: Maximale Parallelität (niedrige Latenz) unter Wahrung der Ressourcenbeschränkungen
- Bei jedem Zeitschritt müssen Kräfte neu berechnet werden, $O(|V|^2)$
- Falls Operationen mit $\mu = 0$ verzögert werden müssen, erhöhe $\bar{\lambda}$ um 1 und berechne damit Kräfte noch ungeplanter Operationen neu

- Berechnet Plan mit minimalen Ressourcen bei Latenzbeschränkung
- Geht operationsweise vor, $O(|V|^3)$, mit Trick $O(|V|^2)$

FORCEDIRECTED($G_S(V, E), \bar{\lambda}$)

- 1 **repeat**
- 2 Bestimme M_i aller noch nicht geplanten v_i
- 3 Bestimme $p_{i,l}$ und $q_{k,l}$ für alle l und k
- 4 Berechne $F_{i,l}$ aus $F_{i,l}^S$ und $F_{j,l}^N$ für alle i und l
- 5 Plane v_i mit der **geringsten** Kraft $F_{i,l}$ in Schritt l
- 6 **until** alle Operationen sind geplant

Idee: Minimiere Parallelität (=Ressourcen) bei garantierter Einhaltung der Latenzbeschränkung (alle v_i werden *immer* innerhalb ihrer M_i geplant).